

東京大学 正員 西野文雄
本四公団 正員 ○秋山晴樹
東京大学 正員 奥村敏恵

1. まえがき

床版には補剛材で縦横に補強された板構造、いわゆる補剛板構造が多く用いられる。この構造の解析方法として現在支配的なものは、補剛板構造をそれと等価な剛性を持つ直交異方性板に置き換え、つり合い式とし、Huber 方程式と呼ばれる。板のたわみに関する 4 階偏微分方程式を導出し、そしてそれを解くというものである。従って、この解法では補剛板構造の剛度の評価、すなはち曲げモーメント、ねじりモーメントと変位の関係をいかにして求めるかが重要な問題となる。従来の理論では曲げモーメントと変位の関係ではそれが考慮されることはおらず、従ってねじり剛性は適切には評価されないと思われる。また、床版のように板の中央面に対し上下非対称の片面補剛板では、荷重が板面に垂直な方向の成分のみを持つ場合でも板の中央面が変位し、ひずむ。従って、中央面の変位を無視して導かれた Huber 方程式は近似式にすぎず、この種の構造を厳密に解析するためには直交する 3 方向のつり合い条件から導かれた 3 元連立偏微分方程式を解かなければならぬ。このことは今までに漠然と指摘されてきたが、この両式の間の関係、特に数値解の近似度に対する検討はほとんどみこなれていない。この報告では片面補剛板について、板と補剛格子と一緒に構造として解析し、Huber 方程式の解の、3 元連立方程式の解に対する近似度を断面諸量を変化させて調べる。また現在広く用いられている、板と補剛格子とを、一緒に構造と考えない場合の数値解とも比較し、その影響を調べる。

2. つり合い式

この報告では右子系の直交デカルト座標系 (x, y, z) を用い、図 1 に示すように x 軸が板の中央面に一致し、かつ、 x 軸の方向が深い補剛材の方向に一致するように座標系の方向を定める。この補剛板のつり合い条件を変位で示せば次のようになる。

$$\begin{aligned} C_{xa}U'' + C_{xb}V'' + C_{xc}U''' + C_{xd}W'''' + C_{xe}W'''' &= 0 \\ C_{ya}V'' + C_{yb}U'' + C_{yc}U''' + C_{yd}W'''' + C_{ye}W'''' &= 0 \\ C_{za}U'' + C_{zb}U''' + C_{zc}V'' + C_{zd}V'''' + \\ C_{ze}W'''' + C_{xf}W'''' + C_{yg}W'''' &= -q \quad \dots (1a \sim c) \end{aligned}$$

ここで、 U, V, W は板の中央面の x, y, z 軸方向の変位、 q は荷重、 $C_{xa} \sim C_{yg}$ は断面定数である。
1.0

は各々 x, y, z の偏微分を表わす。 U, V は y, z 面、 x, z 面に直角方向に作用する断面力 N_x, N_y を用いて消去すれば、式 (1c) は次のようになります。

$$D_x W'''' + H W'''' + D_y W'''' = -q - D_a N_x'' - D_b N_y'' - D_c N_z''$$

$$H = D_{xy} + D_{yz} + D_1 + D_2, \quad N_x'' = N_y'' \quad \dots \dots \dots (2a \sim c)$$

ここで、 D_x, D_y, D_1, D_2 は曲げ剛性、 D_{xy}, D_{yz} はねじり剛性、 $D_a \sim D_d$ は断面定数である。ねじり剛性、 D_{xy}, D_{yz} を図 1 に示す断面諸元を用いて表わせば次のようになる。

$$D_{xy} = -G \left(\frac{h^3}{6} + \frac{J_x}{b} + \frac{\frac{(h+h_y)^2}{2}}{I_h + K \left(\frac{1}{A_x} + \frac{1}{A_y} \right)} \right), \quad D_{yz} = -G \left(\frac{h^3}{6} + \frac{J_y}{a} + \frac{\frac{(h+h_y)^2}{2}}{I_h + K \left(\frac{1}{A_x} + \frac{1}{A_y} \right)} \right) \quad \dots \dots (3a, b)$$

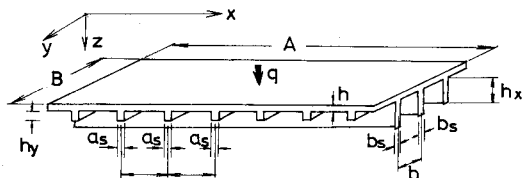


図 1

$\therefore z^2 G$ はせん断剛性、 J_x, J_y は x, y 軸方向に配置された補剛材の St.Venant のねじり定数、 K は断面定数、 A_x, A_y は補剛材の単位あたりの断面積である。式(3a, b)の第3項は板と格子部の相互作用を考慮することにより付加される項であり、この影響を無視してから従来の理論ではこの項は含まれていない。一般荷重のもとでは、 x, y 軸方向に作用する断面力は極めて小さいと考えられるので、 $N_x = N_y = 0$ と仮定すると、式(2a)から Huber 方程式と呼ばれる次のように近似式が導かれる。

$$D_x W''' + H W'''' + D_y''' = -g \quad \dots \dots \dots (4)$$

3. 相互作用のねじり剛度に及ぼす影響

ねじりエーメントと変位の関係において、板と補剛部の相互作用を考慮することにより Huber 方程式への影響はねじり剛度 D_{xy} D_{yx} に現われる。その影響の度合は床版の断面形状によつて異なるが、一例として $a = b$, $a_s = b_s = 0.5h$, $h_x = h_y$ のもとで h_x/h と b/h を変化させ、相互作用を考慮した場合の $D_{xy} + D_{yx}$ のそれを考慮しなかつた場合の $D_{xy} + D_{yx}$ に対する比を求めて、図2に示した。これによると相互作用を考慮することによりねじり剛性は増大し、その割合は補剛材を深くすると増し、補剛間隔を広くすると減少するといふから。

4. 相互作用の Huber 方程式の解に及ぼす影響

相互作用の Huber 方程式の解に及ぼす影響は床版の断面形状、荷重、支持条件によつて異なるが、一般の鋼床版のみられるようなら荷重、支持条件のもとで計算すると、その影響度はねじりエーメントを除いて比較的小さく（ほぼ10%以内）であった。一例として図3(a)に示すような中央分布荷重、4辺単純支持のもとで $h_x = h_y = 4h$, $a_s = b_s = 0.5h$, $a = b = 10h$ としてわみ (w)、曲げ、ねじりエーメント (M_y , M_{yx})、せん断力 (Q_y) を計算し、相互作用を考慮した場合のそれを無視した場合に対する比を ("new/old") として図3 b, c, d, e に示した。

5. Huber 方程式の解の近似性

Huber 方程式の解の近似性は、断面形状、荷重、支持条件によつて異なるが、補剛材の深さが直角方向に著しく異なる場合を除いてはその誤差はいかにも数名以内であつた。従って、実用的には Huber 型の方程式を適用することに問題はないと思われる。例として、断面形状を $a = b = 10h$, $h_x = h_y = 4h$, $a_s = b_s = 0.3h$, $A = B = 100h$ として、周辺単純支持、等分布荷重のもとで Huber 方程式と連立方程式を解き、 w , M_y , M_{yx} , Q_y をそれぞれ求め、前者の後者に対する比を R として図4に示す。

$$\frac{D_{xy} + D_{yx}(\text{New})}{D_{xy} + D_{yx}(\text{Old})}$$

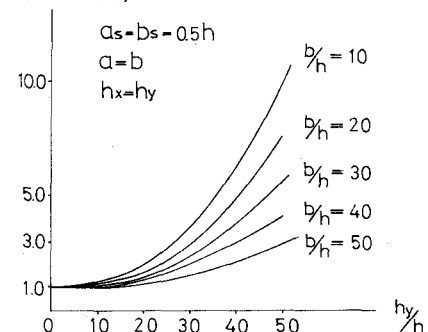
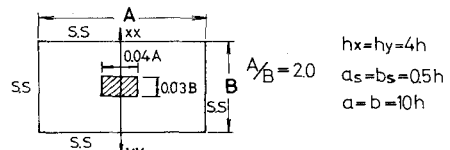


図 2



(New/old)

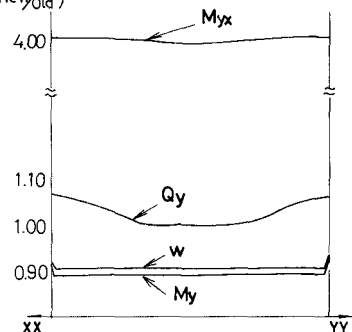


図 3

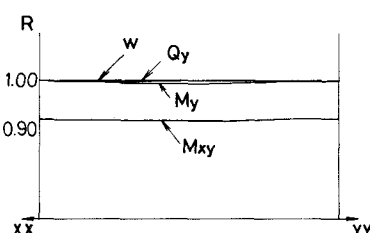
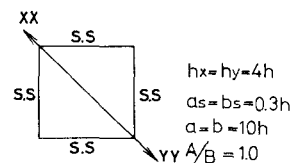


図 4